

Многомерная кинетическая теория фазовых переходов первого рода

© Н.В. Алексеечкин

Институт теоретической физики им. А.И. Ахиезера
Национального научного центра „Харьковский физико-технический институт“
Национальной академии наук Украины,
61108 Харьков, Украина
E-mail: n.alex@kipt.kharkov.ua

(Поступила в Редакцию 23 августа 2005 г.
В окончательной редакции 18 января 2006 г.)

Рассмотрена задача вычисления стационарной скорости зарождения в многомерном пространстве переменных описания зародыша. В рамках предложенной теории получены выражения для скорости зарождения, стационарной функции распределения зародышей и направления их потока. Выражение для скорости зарождения инвариантно по отношению к размерности пространства и, в частности, содержит в себе результат одномерной теории. Выражение для стационарной функции распределения получено в исходных физических переменных. Для вычисления скорости зарождения предложен метод, не требующий ни разделения переменных, ни учета симметрии диффузионной матрицы \hat{D} . Однако показано, что теория является непротиворечивой только в случае симметричной матрицы \hat{D} . Вопрос о ее симметрии обсуждается в связи с анализом ограничений на направление потока зародышей. Исследован вопрос о нормировке равновесных функций распределения и показана связь многомерной теории с одномерной.

PACS: 64.60.-i, 64.60.Qb, 05.20.Dd, 05.10.Gg

1. Введение

Для исследования кинетики зарождения в различных системах, как правило, применяется феноменологический подход, в основе которого лежат выражение для работы $\Delta\Phi(x_1, x_2, \dots, x_p)$ образования зародыша новой фазы и кинетическое уравнение Фоккера–Планка для функции распределения (ФР) $f(x_1, x_2, \dots, x_p; t)$ в пространстве $\{x_i\}$ переменных описания зародыша. Этот подход является распространением одномерной теории Зельдовича и Френкеля [1,2] на многомерный случай. Введение дополнительных переменных позволяет учесть различные физические эффекты и тем самым повысить точность описания процесса.

Непосредственно вычислению стационарной скорости зарождения в пространстве двух или многих переменных посвящен ряд работ, в частности [3–10]; основные положения некоторых из них приводятся далее в контексте излагаемой теории. Общей идеей всех работ является сведение многомерной задачи к одномерной. Однако способы „одномеризации“ у разных авторов различны, соответственно различаются и результаты, а именно предэкспоненциальные множители в выражении для скорости зарождения. Кроме того, не исследовался вопрос о нормировке многомерной ФР, в то время как нормировочный множитель входит в упомянутое выражение. Поэтому задача вычисления стационарной скорости зарождения в многомерном случае все еще остается актуальной. Именно ей и посвящена настоящая работа, основными результатами которой являются выражения для скорости зарождения и стационарной ФР зародышей. При получении этих выражений возникает ряд вопросов, которые также здесь рассматриваются: проводится анализ ограничений на направление потока

зародышей, обсуждается вопрос о симметрии диффузионной матрицы, исследуются вопросы о нормировке равновесной ФР и переходе в одномерную теорию. Для вычисления скорости зарождения предложен метод, не требующий разделения переменных ни в выражении для свободной энергии, ни в кинетическом уравнении и не предполагающий симметрии диффузионной матрицы.

2. Формулировка модели

Условие равновесия по переменной x_i — $\partial\Delta\Phi/\partial x_i = 0$ — определяет гиперповерхность в пространстве $\{x_i\}$. Гиперповерхности для $i = 1, 2, \dots, p$ пересекаются в критической точке \mathbf{r}_* . В окрестности этой точки работа $\Delta\Phi$ представима в виде квадратичной формы

$$\Delta\Phi(\mathbf{r}) = \Delta\Phi_* + \frac{1}{2} H(x_1, x_2, \dots, x_p),$$

$$H(x_1, x_2, \dots, x_p) = H_{ik} x_i x_k, \quad (1)$$

где $H_{ik} = \left. \frac{\partial^2 \Delta\Phi}{\partial x_i \partial x_k} \right|_{\mathbf{r}=\mathbf{r}_*}$, $\Delta\Phi_* = \Delta\Phi(\mathbf{r}_*)$, и значения переменных отсчитываются от критических, соответственно $\mathbf{r}_* = 0$.

Будучи приведенной к сумме квадратов, данная квадратичная форма имеет одно отрицательное слагаемое (это характерная черта процессов многомерного зарождения). Зародыши, перебравшиеся через энергетический барьер в окрестности критической точки в результате броуновского блуждания в пространстве $\{x_i\}$, являются жизнеспособными фрагментами новой фазы, так что задача состоит в вычислении их потока через этот барьер.

Работа (1) определяет равновесную ФР зародышей как гетерофазных флуктуаций [2]

$$f_0(\mathbf{r}) = \text{const} \exp[-\Delta\Phi(\mathbf{r})]. \quad (2)$$

Здесь и далее для удобства будем опускать множитель $\beta \equiv (kT)^{-1}$ при величинах с размерностью энергии, восстановив его только в конечных формулах.

Как уже упоминалось, эволюция ФР описывается уравнением Фоккера–Планка

$$\frac{\partial f(\mathbf{r}, t)}{\partial t} = -\frac{\partial J_i(\mathbf{r}, t)}{\partial x_i}, \quad (3)$$

$$J_i(\mathbf{r}, t) = -D_{ij} \frac{\partial f(\mathbf{r}, t)}{\partial x_j} + \dot{x}_i f(\mathbf{r}, t), \quad (4)$$

где $\mathbf{J}(\mathbf{r}, t)$ — вектор плотности потока зародышей в пространстве $\{x_i\}$.

Коэффициенты диффузии D_{ij} зависят от переменных x_i . Однако, поскольку, как и в одномерной теории, все рассмотрение ведется в окрестности критической точки, коэффициенты D_{ij} считаются постоянными, равными их значениям в этой точке.

Как известно, условием применимости приближения Фоккера–Планка является малость средних изменений величин x_i в каждом элементарном акте по сравнению с их характерными значениями [11]. Данное условие предполагается выполненным, поскольку в окрестности критической точки зародыш является макроскопическим объектом.

Условие обращения в нуль потока в состоянии равновесия позволяет представить выражение (4) в виде

$$J_i(\mathbf{r}, t) = -D_{ij} f_0(\mathbf{r}) \frac{\partial F(\mathbf{r}, t)}{\partial x_j}, \quad F(\mathbf{r}, t) \equiv \frac{f(\mathbf{r}, t)}{f_0(\mathbf{r})} \quad (5)$$

и получить связь \dot{x}_i с D_{ij} . Подставляя $f_0(\mathbf{r})$ в (4), находим

$$\dot{x}_i = -D_{ij} \frac{\partial \Delta\Phi}{\partial x_j} = -D_{ij} H_{jk} x_k \equiv -Z_{ik} x_k, \quad \hat{Z} = \hat{D}\hat{H}. \quad (6)$$

Данная процедура эквивалентна применению детального баланса при выводе выражения для потока в форме (5). Согласно этому приближению, частоты прямого и обратного элементарных актов в эволюции зародыша такие же, как в состоянии равновесия, а значит, связаны друг с другом посредством равновесной ФР. Обоснованием его применимости служит тот факт, что времена релаксации элементарных процессов много меньше характерного времени изменения ФР $f(\mathbf{r}, t)$.

Из (6) получаем

$$\hat{D} = \hat{Z}\hat{H}^{-1}. \quad (7)$$

В ряде случаев коэффициенты диффузии определяются непосредственно при получении кинетического уравнения (3). Например, при рассмотрении процесса конденсации пересыщенного пара с этой целью вычисляется поток молекул на поверхность зародыша. Однако в других случаях подобное прямое вычисление диффузионной матрицы может оказаться затруднительным (например, когда кроме процессов на межфазной границе необходимо учитывать кинетические свойства материнской фазы). В частности, если рост зародыша контролируется процессами диффузии, нужно учитывать диффузионные свойства среды и распределение концентрации вокруг зародыша [11]; в процессах кавитации играет роль вязкость жидкости [12,13]. В этих случаях для определения диффузионной матрицы нужно написать макроскопические уравнения „движения“ зародыша в пространстве $\{x_i\}$

$$\dot{x}_i = g(x_1, x_2, \dots, x_p) \quad (8)$$

(в одномерной задаче такой подход был предложен Зельдовичем [1]). Разумеется, при написании этих уравнений необходимо должным образом учесть термодинамику системы, так что в критической точке все скорости должны обращаться в нуль: $g(0, \dots, 0) = 0$. Разлагая скорости (8) в окрестности критической точки до линейных членов, получаем матрицу \hat{Z} , а затем с помощью соотношения (7) находим матрицу \hat{D} .

Все процессы многомерного зарождения можно разделить на два класса: 1) процессы с независимыми приращениями переменных; 2) процессы со „связанными потоками“ (linked fluxes [14,15]). В процессах первого типа изменение переменной x_i в элементарном акте никак не влияет на значение переменной x_2 , и наоборот. Сюда относятся, в частности, процессы бинарной кинетики. Типичный пример — процесс конденсации в смеси паров двух веществ [3]; зародыш представляет собой каплю раствора и характеризуется числами $x_1 \equiv n_1$ и $x_2 \equiv n_2$ составляющих его мономеров двух видов.

В процессах второго типа изменение переменной x_1 в элементарном акте вызывает изменение переменной x_2 . При этом изменение x_2 можно представить в виде суммы регулярной $\delta x_2^{(r)}$ и флуктуационной $\delta x_2^{(f)}$ частей. Кроме того, переменная x_2 может испытывать и собственные (не зависящие от x_1) флуктуационные изменения. В качестве примера можно привести процесс неизотермической нуклеации в смеси пара и инертного газа [14,16]. Переменными описания служат число молекул пара в кластере ($x_1 \equiv n$) и энергия кластера ($x_2 \equiv E$). В результате присоединения молекулы к зародышу одновременно возрастает и среднее значение его энергии.

Разумеется, возможны также процессы „смешанного“ типа, например при учете неизотермического эффекта в случае конденсации смеси паров; переменные описания — (n_1, n_2, E) .

3. Вычисление стационарной скорости зарождения

Обозначим через \hat{C} матрицу перехода в новую систему координат (СК) $\{x'_i\}$. При этом матрица \hat{H} преобразуется по закону $\hat{H}' = \hat{C}^T \hat{H} \hat{C}$, новые базисные векторы имеют вид $\mathbf{e}'_i = (C_{1i}, C_{2i}, \dots, C_{pi})$.

Применив разложение работы $\Delta\Phi(\mathbf{r})$ по направлению \mathbf{e}'_1

$$\Delta\Phi(\mathbf{r}) = \Delta\Phi_c + \frac{1}{2} \mathbf{r}^2 \frac{d^2}{ds^2} \Delta\Phi(\mathbf{r}) \Big|_{\mathbf{r}=0}, \quad (9)$$

где $d\Delta\Phi(\mathbf{r})/ds = (\mathbf{e}'_1 \nabla) \nabla\Phi(\mathbf{r})$ — производная функции $\Delta\Phi(\mathbf{r})$ по направлению \mathbf{e}'_1 , получаем

$$\Delta\Phi(\mathbf{r}) = \Delta\Phi_c + \frac{1}{2} H'_{11}(\mathbf{e}'_1) \mathbf{r}^2. \quad (10)$$

В отличие от (1) данное выражение для работы имеет „одномерный“ вид; при этом $H'_{11}(\mathbf{e}'_1)$ имеет смысл кривизны барьера (в направлении \mathbf{e}'_1) для зарождения. В частности, в двумерном пространстве — $\mathbf{e}'_1 = (\cos \theta, \sin \theta)$ — H'_1 есть кривизна нормального сечения седловой поверхности $\Delta\Phi(\mathbf{r})$ в направлении θ ,

$$H'_{11}(\theta) \equiv \kappa(\theta) = \frac{H_{22} \operatorname{tg}^2 \theta + 2H_{12} \operatorname{tg} \theta + H_{11}}{1 + \operatorname{tg}^2 \theta}. \quad (11)$$

Из (10) следует, что возможны только такие направления потока зародышей, для которых $H'_{11} < 0$. С точки зрения термодинамики направление потока должно определяться максимальным значением $|H'_{11}|$ (в двумерном случае это направление наискорейшего спуска седловой поверхности). В работе [3], а также в ряде последующих работ именно это направление потока использовалось при вычислении скорости зарождения. Однако кинетические характеристики системы также оказывают влияние на направление потока: коэффициенты диффузии „отклоняют“ вектор потока от направления максимальной отрицательной кривизны [7,8,13]. Соответственно, как показано далее, направление вектора \mathbf{J} определяется как элементами матрицы \hat{H} , так и элементами матрицы \hat{D} .

Для вычисления стационарного потока перейдем к СК, в которой ось x'_1 совпадает с направлением вектора \mathbf{J} (направления остальных осей произвольны),

$$J'_1 = J_s(x'_2, \dots, x'_p), \quad J'_2 = J'_3 = \dots = J'_p = 0. \quad (12)$$

Тот факт, что J'_1 не зависит от x'_1 , следует из стационарного уравнения $\partial J'_i / \partial x'_i = 0$.

Запишем уравнение (12) в развернутом виде

$$J_s(x'_2, \dots, x'_n) = -f_0(\mathbf{r}') \times \left[D'_{11} \frac{\partial F}{\partial x'_1} + D'_{12} \frac{\partial F}{\partial x'_2} + \dots + D'_{1p} \frac{\partial F}{\partial x'_p} \right], \quad (13)$$

$$\begin{cases} J'_2 = -f_0(\mathbf{r}') \left[D'_{21} \frac{\partial F}{\partial x'_1} + D'_{22} \frac{\partial F}{\partial x'_2} + \dots + D'_{2p} \frac{\partial F}{\partial x'_p} \right] = 0, \\ J'_p = -f_0(\mathbf{r}') \left[D'_{p1} \frac{\partial F}{\partial x'_1} + D'_{p2} \frac{\partial F}{\partial x'_2} + \dots + D'_{pp} \frac{\partial F}{\partial x'_p} \right] = 0. \end{cases} \quad (14)$$

Этой системе уравнений удовлетворяет произвольная функция вида $F(x'_1 + k_2 x'_2 + \dots + k_p x'_p)$, где k_i — постоянные коэффициенты, удовлетворяющие системе уравнений

$$\begin{cases} D'_{22} k_2 + D'_{23} k_3 + \dots + D'_{2p} k_p = -D'_{21}, \\ D'_{p2} k_2 + D'_{p3} k_3 + \dots + D'_{pp} k_p = -D'_{p1}. \end{cases} \quad (15)$$

Ее решение имеет вид

$$k_i = \frac{\bar{D}'_{1i}}{\bar{D}'_{11}} \quad (16)$$

(чертой обозначено алгебраическое дополнение к соответствующему элементу).

Далее исходя из системы (14) выразим $\partial F / \partial x'_i$ ($i > 1$) через $\partial F / \partial x'_1$

$$\frac{\partial F}{\partial x'_i} = k_i \frac{\partial F}{\partial x'_1}$$

и подставим в (13). В результате получаем

$$\begin{aligned} J_s(x'_2, \dots, x'_p) &= -f_0(\mathbf{r}') \left[D'_{11} + D'_{12} \frac{\bar{D}'_{12}}{\bar{D}'_{11}} + \dots + D'_{1p} \frac{\bar{D}'_{1p}}{\bar{D}'_{11}} \right] \\ &\times \frac{\partial F}{\partial x'_1} = -f_0(\mathbf{r}') \frac{\det \hat{D}'}{\bar{D}'_{11}} \frac{\partial F}{\partial x'_1}. \end{aligned} \quad (17)$$

Для того чтобы в правой части этого равенства не было зависимости от x'_1 , прежде всего функция $\partial F / \partial x'_1$ должна иметь вид

$$\frac{\partial F}{\partial x'_1} = -A \exp \left\{ \frac{1}{2} H'_{11} (x'_1 + k_2 x'_2 + \dots + k_p x'_p)^2 \right\}. \quad (18)$$

Подставляя в (17) выражение (2) для $f_0(\mathbf{r}')$, в показателе экспоненты получаем квадратичную форму, содержащую все переменные $\{x'_i\}$. Приравнявая к нулю коэффициенты при слагаемых с x'_1 , получаем $H'_{11} k_i - H'_{1i} = 0$ ($i > 1$), откуда

$$k_i = \frac{H'_{1i}}{H'_{11}}. \quad (19)$$

Сравнивая с (16), находим

$$\frac{\bar{D}'_{1i}}{\bar{D}'_{11}} = \frac{H'_{1i}}{H'_{11}}. \quad (20)$$

С учетом этого равенства выражение в квадратных скобках в (17) равно Z'_{11}/H'_{11} , где Z'_{11} — элемент матрицы $\hat{Z}' = \hat{D}' \hat{H}'$. Следует отметить, что при переходе в новую СК \hat{Z} преобразуется как матрицы линейного оператора: $\hat{Z}' = \hat{C}^{-1} \hat{Z} \hat{C}$, поскольку матрица \hat{D} преобразуется по закону $\hat{D}' = \hat{B} \hat{D} \hat{B}^T$, где $\hat{B} \equiv \hat{C}^{-1}$; соответственно $\hat{D} \equiv \hat{D}^{-1}$ преобразуется как матрица билинейной формы.

Используя (20), легко получить, что все остальные элементы первого столбца матрицы \hat{Z}' равны нулю. Таким образом,

$$\begin{cases} Z'_{11} = \lambda_1, \\ Z'_{i1} = 0, \quad i > 1, \end{cases} \quad (21)$$

и, следовательно, λ_1 — собственное значение матрицы \hat{Z} . Поскольку переменная x'_1 неустойчива, λ_1 отрицательно: из (6) следует, что в закритической области $x'_1(t) \sim \exp(|\lambda_1|t)$.

Выражение (17) для J_s приобретает следующий вид:

$$J_s(x'_2, \dots, x'_p) = \text{const} A \frac{\lambda_1}{H'_{11}} \exp[-\Delta\Phi_*] \times \exp\left[-\frac{1}{2} Q(x'_2, \dots, x'_p)\right], \quad (22)$$

$$Q(x'_2, \dots, x'_p) = \frac{1}{H'_{11}} \sum_{i,k>1} H'^{1,k}_{1,i} x'_i x'_k > 0, \quad (23)$$

где $H'^{1,k}_{1,i}$ — минор, стоящий на пересечении строк с номерами $(1, i)$ и столбцов с номерами $(1, k)$ матрицы \hat{H}' .

Для определения постоянной A введем обозначение $\xi = x'_1 + k_2 x'_2 + \dots + k_p x'_p$; при этом выражение (18) переходит в следующее:

$$\frac{dF}{d\xi} = -Ae^{-\frac{1}{2}|H'_{11}|\xi^2}. \quad (24)$$

Переписав квадратичную форму в показателе экспоненты функции $f_0(\mathbf{r}')$ в переменных (ξ, x'_2, \dots, x'_p) , имеем $H(x'_1, x'_2, \dots, x'_p) = H'_{11}\xi^2 + Q(x'_2, \dots, x'_p)$. Поскольку $H'_{11} < 0$, $Q(x'_2, \dots, x'_p) > 0$, величина ξ играет роль неустойчивой переменной в равновесном распределении зародышей, и по ней следует задавать граничные условия порогового типа

$$F(\xi) = \begin{cases} 1, & \xi \rightarrow -\infty, \\ 0, & \xi \rightarrow +\infty. \end{cases} \quad (25)$$

В результате $A = \sqrt{|H'_{11}|/2\pi}$.

Для получения скорости зарождения нормальную составляющую $J_{s,\perp}(x'_2, \dots, x'_p)$ вектора плотности потока к некоторой пересекаемой им гиперплоскости Ω_p необходимо проинтегрировать по этой гиперплоскости. В качестве последней удобно выбрать гиперплоскость $x'_1 = 0$ (результат не зависит от выбора). Кроме того, используем следующие равенства:

$$\int_{x'_1=0} d\Omega_p J_{s,\perp}(x'_2, \dots, x'_p) = \int_{-\infty}^{+\infty} \dots \int_{-\infty}^{+\infty} dx'_2 \dots dx'_p J_s(x'_2, \dots, x'_p) \det \hat{C}, \quad (26)$$

$$\det \hat{Q} = \det \hat{H}'/H'_{11}, \quad (27)$$

где \hat{Q} — матрица квадратичной формы $Q(x'_2, \dots, x'_p)$ (см. (23)).

В результате интегрирования получаем выражение для стационарной скорости зарождения

$$I = \text{const}(2\pi kT)^{\frac{p-2}{2}} \frac{|\lambda_1|}{\sqrt{|\det \hat{H}'|}} e^{-\frac{\Delta\Phi_*}{kT}} \quad (28)$$

с точностью до не определенной пока еще нормировочной константы в равновесной ФР.

В работах [9,10] аналогичное выражение получено как окончательный результат для скорости зарождения; вопрос об определении нормировочной постоянной в равновесной ФР там не рассматривался. Как показано далее, эта постоянная существенно изменяет вид предэкспоненциального множителя в (28). Данное выражение не может быть окончательным результатом также по следующим причинам. Во-первых, оно не инвариантно по отношению к размерности пространства: при введении в теорию дополнительных переменных описания зародыша, т.е. увеличении p , меняется температурная зависимость скорости зарождения. Во-вторых, оно не позволяет связать многомерную теорию с одномерной.

Преимуществом предложенного подхода к вычислению скорости зарождения является то, что все вычисления проводятся в произвольной СК: фиксируется только ось x'_1 (из физических соображений), направления остальных осей произвольны. Результирующее выражение для скорости зарождения от этого произвола не зависит, как и должно быть с точки зрения физики. Кроме того, не делается никаких предположений относительно матрицы \hat{D} .

Тем не менее, фиксируя определенным образом оси x'_1, \dots, x'_p , можно рассмотреть некоторые специальные СК. Одной из них является аффинная СК с полным разделением переменных (как в выражении (1) для $\Delta\Phi$, так и в кинетическом уравнении), которая существует, если матрица \hat{D} симметрична и квадратичная форма с матрицей \hat{D} является положительно-определенной. Ее существование следует из теоремы лемной алгебры о возможности одновременного приведения двух квадратичных форм к сумме квадратов.

Обозначим через h'_i и d'_i диагональные элементы матриц \hat{H}' и \hat{D}' в этой СК, $h'_i < 0$; при этом $\lambda_i = d'_i h'_i$ — собственные значения матрицы \hat{Z} , а новый базис является для нее собственным. Поскольку $k_i = 0$, отношение f_s/f_0 есть функция только x'_1 . Таким образом, в этой СК равновесная и стационарная ФР соответственно имеют вид

$$f_0(\mathbf{r}') = \rho_0(x'_1) \exp\left[-\frac{1}{2} \sum_{i=2}^p h'_i x'^2_i\right] \det \hat{C},$$

$$\rho_0(x'_1) = \text{const} \exp(-\Delta\Phi_*) \exp\left[\frac{1}{2} |h'_1| x'^2_1\right], \quad (29)$$

$$f_s(\mathbf{r}') = \rho_s(x'_1) \exp\left[-\frac{1}{2} \sum_{i=2}^p h'_i x'^2_i\right], \quad (30)$$

где $\rho_0(x'_1)$ и $\rho_s(x'_1)$ — равновесная и стационарная ФР одномерной задачи.

В данной СК картина процесса зарождения имеет следующий вид: поток зародышей направлен по оси x'_1 , в то время как по каждой из переменных x'_2, \dots, x'_p имеет место равновесие с соответствующей нулевой компонентой вектора \mathbf{J}' . Та же картина имеет место и в теории Куни–Мелихова [5]. Отличие заключается в том, что в работе [5] для получения полного разделения переменных используются два различных преобразования координат: сначала поворотом СК диагонализуются квадратичная форма (1), затем с помощью преобразования Лоренца (оставляющего инвариантной H) диагонализуются матрица \hat{D} надлежащим выбором параметра этого преобразования. Как видно из изложенного выше, необходимости в такой „раздельной“ диагонализации нет.

Если допустить, что матрица \hat{D} не симметрична, то СК с полным разделением переменных не существует. Однако заслуживает внимания тот факт, что в СК с диагональным видом H автоматически обращаются в нуль элементы первого столбца матрицы \hat{D}' , кроме D'_{11} , как следствие равенства $k_i = 0$. Заметим, что для того чтобы функция (3) была решением кинетического уравнения, не обязательно диагонализировать матрицу \hat{D} , достаточно обратить в нуль только элементы ее первого столбца. Таким образом, описанная выше одномерная картина зарождения сохраняется и в случае несимметричной матрицы \hat{D} . Более того, не обязательно даже полностью диагонализировать квадратичную форму H , достаточно обратить в нуль только элементы H'_{1i} ($i > 1$), т.е. в квадратичной форме выделить неустойчивую переменную; при этом также обращаются в нуль элементы D'_{i1} для $i > 1$. В этом случае в показателе экспоненты в выражениях (29) и (30) будет стоять положительно-определенная квадратичная форма общего вида.

Таким образом, вид матрицы \hat{D}' , так же как и \hat{D} , вообще не играет роли, и „одномеризация“ процесса зарождения обусловлена исключительно свойством матриц \hat{H} и \hat{Z} иметь по одному отрицательному собственному значению.

4. Направление потока зародышей и вопрос о симметрии диффузионной матрицы

Теория самосогласованным образом дает направление потока зародышей. Полученные выше равенства (21) представляют собой систему уравнений для определения элементов первого столбца матрицы \hat{C} , т.е. искомого направления. Как уже упоминалось, это направление собственного вектора $\mathbf{e}'(C_{11}, C_{21}, \dots, C_{p1})$ матрицы \hat{Z} , соответствующего отрицательному собственному значению λ_1 .

В двумерном случае для направления потока получается следующее выражение (θ — угол, образуемый

вектором \mathbf{J} с осью x_1):

$$\begin{aligned} \operatorname{tg} \theta &= \frac{C_{21}}{C_{11}} = \frac{\lambda_1 - Z_{11}}{Z_{12}} \\ &= \frac{1}{2Z_{12}} \left\{ (Z_{22} - Z_{11}) - \sqrt{(Z_{22} - Z_{11})^2 + 4Z_{12}Z_{21}} \right\}, \end{aligned} \quad (31)$$

где

$$\hat{Z} = \begin{pmatrix} D_{11}H_{11} + D_{12}H_{12} & D_{11}H_{12} + D_{12}H_{22} \\ D_{21}H_{11} + D_{22}H_{12} & D_{21}H_{12} + D_{22}H_{22} \end{pmatrix}. \quad (32)$$

С другой стороны, матрица \hat{D} , определяемая согласно (7) по известным \hat{H} и \hat{Z} , имеет вид

$$\hat{D} = \frac{1}{\det \hat{H}} \begin{pmatrix} Z_{11}H_{22} - Z_{12}H_{12} & -Z_{11}H_{12} + Z_{12}H_{11} \\ Z_{21}H_{22} - Z_{22}H_{12} & -Z_{21}H_{12} + Z_{22}H_{11} \end{pmatrix}. \quad (33)$$

Преобразуем выражение (31), обозначив $\gamma = Z_{21}/Z_{12}$, $h = H_{11} - (D_{12} - D_{21}) \det \hat{H}/Z_{12}$,

$$\begin{aligned} \operatorname{tg} \theta &= \frac{\gamma H_{22} - h}{2H_{12}} \\ &- (\operatorname{sign} Z_{12}) \sqrt{\left(\frac{\gamma H_{22} - h}{2H_{12}} \right)^2 + \gamma}, \quad H_{12} \neq 0. \end{aligned} \quad (34)$$

Линии равновесия зародыша $L_e^{(1)}$ и $L_e^{(2)}$ по отношению к переменным x_1 и x_2 соответственно в окрестности седловой точки имеют следующие направления: $\operatorname{tg} \theta_e^{(1)} = -H_{11}/H_{12}$, $\operatorname{tg} \theta_e^{(2)} = -H_{12}/H_{22}$.

Линии нулевой кривизны K_0^\pm разделяют области положительной и отрицательной кривизны на плоскости (x_1, x_2) . Их углы наклона

$$\begin{aligned} \operatorname{tg} \theta_0^\pm &= \left(-H_{12} \pm \sqrt{|\det \hat{H}|} \right) / H_{22} \\ &= \operatorname{tg} \theta_e^{(2)} \pm \sqrt{|\det \hat{H}|} / H_{22}. \end{aligned}$$

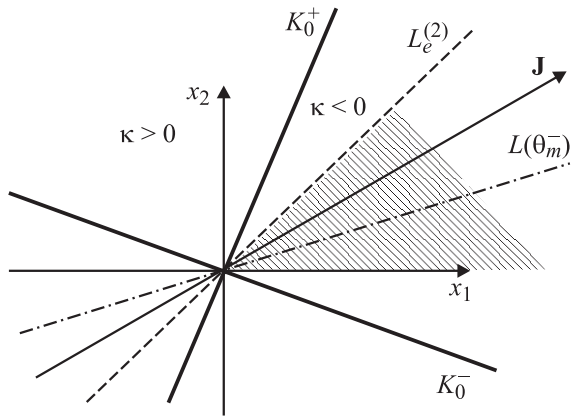
Если матрица \hat{D} симметричная и положительно-определенная, а Z_{21} и Z_{12} одного знака, то, как нетрудно показать, $\operatorname{sign} Z_{12} = \operatorname{sign} H_{12}$. Кроме того, $h = H_{11}$. Выражение (34) принимает вид

$$\begin{aligned} \operatorname{tg} \theta &= \frac{\gamma H_{22} - H_{11}}{2H_{12}} \\ &- (\operatorname{sign} H_{12}) \sqrt{\left(\frac{\gamma H_{22} - H_{11}}{2H_{12}} \right)^2 + \gamma}, \quad \gamma > 0. \end{aligned} \quad (35)$$

Если $H_{12} = 0$, $D_{21} = D_{12}$, то вместо этого выражения имеем

$$\begin{aligned} \operatorname{tg} \theta &= \frac{D_{22} + |\gamma| D_{11}}{2D_{12}} \\ &- (\operatorname{sign} Z_{12}) \sqrt{\left(\frac{D_{22} + |\gamma| D_{11}}{2D_{12}} \right)^2 - |\gamma|}, \end{aligned} \quad (36)$$

в этом случае, как следует из (32), $\gamma = H_{11}/H_{22} < 0$.



Область возможных направлений вектора плотности потока зародышей (заштрихована) для выражения (35) и знаков H_{ik} , указанных в тексте. $L(\theta_m^-)$ — линия наискорейшего спуска седловой поверхности $\Delta\Phi(x_1, x_2)$. Остальные обозначения приведены в тексте.

В случае $\gamma < 0$, $D_{21} = D_{12}$ и $H_{12} \neq 0$

$$\begin{aligned} \operatorname{tg} \theta = & - \frac{|\gamma|H_{22} + H_{11}}{2H_{12}} \\ & - (\operatorname{sign} Z_{12}) \sqrt{\left(\frac{|\gamma|H_{22} + H_{11}}{2H_{12}}\right)^2 - |\gamma|}. \end{aligned} \quad (37)$$

Требование положительности выражения под корнем (только в этом случае существуют два собственных значения матрицы \hat{Z}) дает следующее ограничение на значения γ :

$$0 < |\gamma| < |\gamma|_1^{(c)} \quad \text{и} \quad |\gamma|_2^{(c)} < |\gamma| < \infty,$$

где

$$|\gamma|_1^{(c)} < |\gamma|_2^{(c)} \quad \text{и} \quad |\gamma|_{1,2}^{(c)} = (\operatorname{tg} \theta_0^\pm)^2.$$

Выражение (35) дает направление наискорейшего спуска при $\gamma = 1$. Таким образом, направление потока совпадает с направлением максимальной отрицательной кривизны только в том случае, когда симметричны обе матрицы (\hat{D} и \hat{Z}). В этом случае кинетика „не участвует“ в выборе направления потока, так что оно определяется только термодинамикой.

Если $\gamma \neq 1$, то направление потока отклоняется от θ_m^- . При этом возникает вопрос: не может ли оказаться $\kappa(\theta) > 0$? Анализ выражений (35)–(37) показывает, что при любом γ вектор \mathbf{J} не выходит за пределы области отрицательной кривизны.

Пусть $H_{11} < 0$, $H_{22} > 0$ и $H_{12} < 0$. Тогда в случае $\gamma > 0$ (35) вектор потока заключен между осью x_1 и линией равновесия $L_e^{(2)}$ (см. рисунок): $\theta_0^- < 0 < \theta < \theta_e^{(2)} < \theta_0^+$. К оси x_1 вектор \mathbf{J} приближается при $\gamma \rightarrow 0$, а к линии равновесия — при $\gamma \rightarrow \infty$. Предельный случай $\gamma \rightarrow \infty$ соответствует $D_{22} \gg D_{11}, D_{12}$, т.е. $J_2 \gg J_1$. Релаксация величины x_2 происходит настолько быстро, что по этой переменной успевает уста-

навливаться равновесие, и поэтому вектор \mathbf{J} приближается к линии $L_e^{(2)}$. Обратный предельный случай ($\gamma \rightarrow 0$) соответствует $D_{11} \gg D_{22}, D_{12}$, т.е. $J_1 \gg J_2$, и вектор \mathbf{J} приближается к оси x_1 . Другой, термодинамический, аспект этого случая ($H_{22} \rightarrow \infty$) будет рассмотрен далее.

Для выражений (36) и (37), а также для других комбинаций знаков H_{ik} получаются аналогичные ограничения на направление \mathbf{J} .

Если $D_{21} \neq D_{12}$, то в зависимости от значений элементов матрицы \hat{D} возможны ситуации, когда в направлении (34) $\kappa(\theta) > 0$ (в представлении $\lambda_1 = D'_{11}(\theta)\kappa(\theta)$ в одной из рассмотренных выше СК это означает, что отрицательным становится $D'_{11}(\theta)$). Другими словами, в этих случаях кинетика дает направление потока, запрещенное термодинамикой. Полученное противоречие является следствием произвольности матрицы \hat{Z} или, что то же самое, матрицы \hat{D} (при фиксированной матрице \hat{H}). С другой стороны, полная самосогласованность теории в случае $D_{21} = D_{12}$ наводит на мысль о том, что матрица \hat{D} в процессах зарождения должна быть симметричной. Если это так, то требование ее симметрии является искомым ограничением на \hat{Z} . Как отмечалось выше, при получении уравнений движения зародыша в фазовом пространстве или, что то же самое, матрицы \hat{Z} нужно учесть термодинамику системы. Следовательно, необходимо выяснить, какой вид матрицы \hat{D} следует из термодинамических соображений.

Предварительно отметим, что существуют различные мнения относительно вида \hat{D} . В некоторых работах допускается возможность существования несимметричной матрицы \hat{D} либо такая матрица получается в результате расчетов [13,17,18]. В других работах предполагается симметрия \hat{D} либо симметричная матрица получается при выводе кинетического уравнения [5,14,15], причем факт симметрии авторы связывают с принципом взаимосвязи Онсагера. Однако апелляция здесь к этому принципу является необоснованной. Выражение (7) формально совпадает с выражением для кинетических коэффициентов в теории Онсагера [19], в то время как относится оно к совершенно иной физической ситуации. Зародыш вблизи критической точки представляет собой макроскопическую подсистему в исходной фазе. В теории Онсагера квадратичная форма H положительно-определенная, так как рассматривается релаксация величин x_i к состоянию устойчивого равновесия подсистемы. В нашем случае квадратичная форма H не является знакоопределенной. Зародыш находится вблизи точки неустойчивого равновесия \mathbf{r}_* и со временем удаляется от нее. Другими словами, ввиду наличия неустойчивости переменной в (1) функция $f_0(\mathbf{r})$ вблизи \mathbf{r}_* принципиально отличается от плотности распределения флуктуаций в соответствующей теории [19], так что мы не можем здесь вычислять, например, корреляторы $\langle x_i, X_k \rangle$, $X_k = \beta \delta \Delta \Phi / \delta x_k$, необходимые для получения соотношений взаимности [19].

Тем не менее вопрос о симметрии матрицы \hat{D} можно исследовать, не прибегая к принципу Онсагера. Факт симметрии \hat{D} может быть показан на основе принципа детального баланса. Написав уравнения движения в терминах микроскопических характеристик процесса — вероятностей элементарных переходов в фазовом пространстве — и используя данный принцип, получим симметричную матрицу в случае процессов со связанными потоками и диагональную в случае процессов с независимыми приращениями переменных. Подробное описание этой процедуры выходит за рамки настоящей работы.

5. Функции распределения

Для вычисления стационарной скорости зарождения необходимо получить нормировочную постоянную в равновесной ФР. Очевидно, что ФР должна быть нормирована в исходных переменных, так как только они имеют физический смысл. Как известно, в одномерном случае равновесная ФР $\rho_0(n)$ полностью определяется из условия статистического равновесия (по отношению к обмену мономерами между зародышами и средой) в слабом растворе, где зародыши трактуются как молекулы растворенного вещества [2]. Поскольку находится минимум термодинамического потенциала системы при условии сохранения полного числа мономеров (условие связи), т.е. решается задача нахождения условного экстремума, для получения $\rho_0(n)$ удобно использовать метод неопределенных множителей Лагранжа [3]. Таким способом наряду с видом равновесной ФР также определяются нормировочная константа и работа образования зародыша.

Переходя к многомерной равновесной ФР, рассмотрим сначала процессы со связанными потоками. Пусть $x_1 = n$ — число мономеров в зародыше. Что касается переменных x_2, \dots, x_p , то каждая из них в равновесии имеет флуктуационный разброс относительно среднего, или равновесного, значения $x_i^e(n)$. Как уже упоминалось, прирост переменной x_i состоит из регулярной и флуктуационной частей. Первая из них вносит вклад в x_i^e , в то время как вторая обеспечивает флуктуационный разброс относительно x_i^e . Так, в двумерном случае квадратичную форму H в (1) можно тождественно преобразовать к следующему виду:

$$H(n, x_2) = \frac{\det \hat{H}}{H_{22}} n^2 + H_{22}(x_2 - x_2^e(n))^2, \quad (38)$$

где $x_2^e(n) = -(H_{12}/H_{22})n$ определяется из условия равновесия $\partial \Delta \Phi / \partial x_2 = 0$.

Пусть $H_{11} < 0$, $H_{22} > 0$ и $H_{12} < 0$ (последнее неравенство означает, что $\text{tg } \theta_e^{(2)} > 0$, однако знак H_{12} не важен для дальнейших рассуждений). Очевидно, флуктуационная часть двумерной ФР должна быть нормирована множителем $(H_{22}/2\pi)^{1/2}$, так что вопрос сводится к

нормировке одномерной ФР

$$f_0(n, x_2) = \rho_0(n) \sqrt{\frac{H_{22}}{2\pi}} e^{-\frac{1}{2}H_{22}(x_2 - x_2^e(n))^2},$$

$$\rho_0(n) = N e^{-\Delta \Phi_n - \frac{\det \hat{H}}{2H_{22}} n^2}, \quad (39)$$

где N — число мономеров в единице объема исходной фазы. При этом $\int f_0(n, x_2) dx_2 = \rho_0(n)$, как и должно быть.

Как известно, величина $1/H_{22}$ есть средний квадрат флуктуации. Поэтому при $H_{22} \rightarrow \infty$ (в исходных единицах $H_{22}/kT \rightarrow \infty$) должен иметь место переход к одномерному зарождению: переменная x_2 имеет для всех зародышей размера n одно и то же равновесное значение $x_2^e(n)$. Действительно, f_0 в этом случае можно представить в виде $f_0(n, x_2) = \rho_0(n) \delta(x_2 - x_2^e(n))$, причем $x_2^e(n) \rightarrow 0$. Поскольку значения переменных отсчитываются от критических, получаем следующий результат: в пределе $H_{22} \rightarrow \infty$ переменная x_2 имеет для всех зародышей одно и то же критическое значение, т.е. превращается в константу, так что остается одна переменная — n . Кроме того, $(\det \hat{H}/H_{22}) \rightarrow H_{11}$, т.е. $\rho_0(n)$ переходит в ФР одномерной теории.

Подставляя $\text{const} = N(H_{22}/2\pi)^{1/2}$ в выражение (28) для стационарного потока, получаем

$$I = N(2\pi)^{-1/2} \sqrt{\frac{H_{22}}{|\det \hat{H}|}} |\lambda_1| e^{-\Delta \Phi_n}. \quad (40)$$

Используя соотношение $\text{tg } \theta = (\lambda_1 - Z_{11})/Z_{12}$, находим, что на линии $L_e^{(2)}$ $\lambda_1 = D_{11} \det \hat{H}/H_{22}$; следовательно, поток

$$I = N(2\pi)^{-1/2} D_{11} \sqrt{\frac{|\det \hat{H}|}{H_{22}}} e^{-\Delta \Phi_n}. \quad (41)$$

Выше были рассмотрены кинетические пределы $\gamma \rightarrow 0$ и $\gamma \rightarrow \infty$ выражения (35), обусловленные соответствующими соотношениями между элементами матрицы \hat{D} . Видно, что в этих предельных случаях выражения (40) и (41) не дают результата одномерной теории. В то же время из (35)–(37) следует, что при $H_{22} \rightarrow \infty$ $\text{tg } \theta \rightarrow \text{tg } \theta_e^{(2)} \rightarrow 0$ независимо от значения γ , т.е. вектор потока приближается к линии $L_e^{(2)}$, которая в свою очередь становится параллельной оси x_1 . Формула (41) в этом пределе дает хорошо известное выражение для одномерного стационарного потока [2]. Таким образом, для перехода к одномерному зарождению необходимым и достаточным является термодинамический предел $(H_{22}/kT) \rightarrow \infty$.

В пространстве трех переменных (n, x_2, x_3) условия равновесия $\partial \Delta \Phi / \partial x_2 = 0$ и $\partial \Delta \Phi / \partial x_3 = 0$ представляют собой уравнения плоскостей, пересекающихся по прямой, уравнения которой имеют вид

$$x_2^e(n) = \text{tg } \tilde{\theta}_e^{(2)} n, \quad x_3^e(n) = \text{tg } \theta_e^{(3)} n,$$

$$\text{tg } \tilde{\theta}_e^{(2)} = \frac{H_{12}^{-1}}{H_{11}^{-1}}, \quad \text{tg } \theta_e^{(3)} = \frac{H_{13}^{-1}}{H_{11}^{-1}}, \quad (42)$$

где H_{ik}^{-1} — элемент матрицы \hat{H}^{-1} .

Аналогично двумерному случаю квадратичная форма H может быть тождественно преобразована к следующему виду:

$$H(n, x_1, x_2) = \frac{1}{H_{11}^{-1}} n^2 + \sum_{i,k=2,3} H_{ik}(x_i - x_i^e(n))(x_k - x_k^e(n)), \quad (43)$$

соответственно флуктуационная часть равновесной ФР имеет нормировочный множитель $\sqrt{H_{11}^{-1} \det \hat{H}}/2\pi$.

Отсюда получаем дисперсии величин x_2 и x_3 , а также их коррелятор

$$\begin{aligned} \sigma_{22} &= \langle (x_2 - x_2^e)^2 \rangle = H_{33}/\bar{H}_{11}, \\ \sigma_{33} &= \langle (x_3 - x_3^e)^2 \rangle = H_{22}/\bar{H}_{11}, \\ \sigma_{23} &= \langle (x_2 - x_2^e)(x_3 - x_3^e) \rangle = -H_{23}/\bar{H}_{11}, \end{aligned}$$

где \bar{H}_{11} — алгебраическое дополнение к H_{11} .

Переход к двумерному зарождению происходит при $H_{33} \rightarrow \infty$. В этом случае $\sigma_{33} \rightarrow 0$, $\sigma_{23} \rightarrow 0$, $\sigma_{22} \rightarrow 1/H_{22}$; $\text{tg } \theta_e^{(3)} \rightarrow 0$, $\text{tg } \theta_e^{(2)} \rightarrow \text{tg } \theta_e^{(2)} = -H_{12}/H_{22}$; $1/H_{11}^{-1} \rightarrow (H_{11}H_{22} - H_{12}^2)/H_{22} \equiv \det \hat{H}^{(p=2)}/H_{22}$. Переход к одномерному зарождению происходит, когда $H_{33} \rightarrow \infty$ и $H_{22} \rightarrow \infty$. Таким образом, указанные выше знаки H_{ik} для двумерного случая, а также аналогичные знаки в пространствах более высокой размерности (в частности, $H_{11} < 0, H_{22}, H_{33}, \dots, H_{pp} > 0, \bar{H}_{11} > 0$) являются необходимыми для процессов данного типа.

Обобщение на случай произвольного числа переменных очевидно, так что равновесная ФР имеет вид

$$\begin{aligned} f_0(n, x_2, \dots, x_p) &= \rho_0(n) \sqrt{\frac{H_{11}^{-1} \det \hat{H}}{(2\pi kT)^{(p-1)}}} \\ &\quad \times e^{-\frac{1}{2kT} \sum_{i,k>1} H_{ik}(x_i - x_i^e(n))(x_k - x_k^e(n))} \\ &\equiv N \sqrt{\frac{H_{11}^{-1} \det \hat{H}}{(2\pi kT)^{(p-1)}}} e^{-\frac{\Delta\Phi(n, x_2, \dots, x_p)}{kT}}, \\ \rho_0(n) &= N e^{-\frac{\Delta\Phi_* + n^2/2H_{11}^{-1}}{kT}}. \end{aligned} \quad (44)$$

Подставляя полученное значение нормировочной постоянной в (28), находим окончательное выражение для стационарной скорости зарождения

$$I = N(2\pi kT)^{-1/2} \sqrt{|H_{11}^{-1}|} |\lambda_1| e^{-\frac{\Delta\Phi_*}{kT}}, \quad (45)$$

где H_{11}^{-1} — элемент матрицы \hat{H}^{-1} .

Данное выражение инвариантно по отношению к размерности пространства. В частности, в одномерном случае $H_{11}^{-1} = 1/H_{11}$, $\lambda_1 = D_1 H_{11}$; таким образом, в нем содержится результат одномерной теории [2], как и должно быть.

Рассмотрим далее процессы с независимыми приращениями переменных на приведенном выше примере конденсации смеси паров двух веществ в идеальном растворе. Вычисление матрицы \hat{H} для этого случая с использованием приведенных в [3] численных значений параметров дает $H_{11} > 0$ и $H_{22} > 0$. Если для получения равновесной ФР $f_0(n_1, n_2)$ использовать тот же алгоритм, что и в одномерном случае, то уже не удастся получить обычное выражение для работы образования зародыша $\Delta\Phi$. Следовательно, равновесная ФР не может быть нормирована таким способом. Используемый в работе [3], а также во многих последующих работах по бинарной кинетике множитель $(N_1 + N_2)$ — полное число мономеров обоих сортов в единице объема исходной фазы — не является правильным нормировочным множителем для двумерной ФР.

Переход к новым переменным $n = n_1 + n_2$ и $c = n_2/(n_1 + n_2)$ принципиально меняет ситуацию. Прежде всего, заметим, что в новых переменных выражение для $\Delta\Phi$ [3] преобразуется таким образом, что теперь $H_{11}^{(n,c)} < 0$, $H_{22}^{(n,c)} < 0$. Работу $\Delta\Phi(n, c)$ в окрестности седловой точки (n_*, c_*) можно представить в виде (38), соответственно равновесную ФР $f_0(n, c)$ — в виде (39); при этом одномерная ФР $\rho_0(n)$ нормируется при $c = c^e(n)$, получая множитель $N = N_1 + N_2$. Таким образом, данный процесс сводится к процессам со связанными потоками; последние, по видимому, являются общим случаем процессов многомерного зарождения. Особенность данного процесса, следующая из полной независимости переменных (n_1, n_2) , заключается лишь в том, что здесь возможно два варианта перехода к одномерной теории. Первый рассмотренный выше переход при $H_{22}^{(n,c)} \rightarrow \infty$ соответствует образованию двухкомпонентных зародышей фиксированного, или стехиометрического, состава $c = c_*$. Второй — это переход к обычному однокомпонентному зарождению при $N_2 \rightarrow 0$. Поскольку парциальное давление пара $2 P_2 \sim N_2$, а $D_{22}^{(n_1, n_2)} \sim P_2$, в этом пределе $\gamma^{(n_1, n_2)} = D_{22}^{(n_1, n_2)}/D_{11}^{(n_1, n_2)} \rightarrow 0$; следовательно, $\text{tg } \theta \rightarrow 0$. При этом, используя выражение для $\Delta\Phi$, приведенное в [3], можно показать, что в этом пределе также $c_* \rightarrow 0$, $H_{22}^{(n,c)} \rightarrow \infty$ при $c_* \rightarrow 0$ и $(H_{12}^{(n,c)})^2/H_{22}^{(n,c)} \rightarrow 0$, т. е. $\det \hat{H}^{(n,c)}/H_{22}^{(n,c)} \rightarrow H_{11}^{(n,c)}$; $H_{11}^{(n,c)}$ имеет тот же вид, что и в одномерной теории. Таким образом, данный переход формально происходит по тому же самому механизму ($H_{22}^{(n,c)} \rightarrow \infty$) только уже при $c = 0$, т. е. это переход к однокомпонентному зарождению.

Если все же пользоваться переменными (n_1, n_2) , то ФР $f_0(n_1, n_2)$ можно получить при обратном переходе $(n, c) \rightarrow (n_1, n_2)$

$$f_0(n_1, n_2) = \frac{N_1 + N_2}{n_1 + n_2} \sqrt{\frac{H_{22}^{(n,c)}}{2\pi kT}} e^{-\frac{\Delta\Phi(n_1, n_2)}{kT}}, \quad (46)$$

где множитель $1/(n_1 + n_2)$ — якобиан данного перехода.

Преобразованием уравнений движения от переменных (n_1, n_2) к переменным (n, c) можно получить $\det \hat{D}^{(n,c)} = \det \hat{D}^{(n_1, n_2)}/n_*^2$, $\det \hat{H}^{(n,c)} = n_*^2 \det \hat{H}^{(n_1, n_2)}$,

$\det \hat{Z}^{(n,c)} = \det \hat{Z}^{(n_1, n_2)}$ и $\lambda_1^{(n,c)} = \lambda_1^{(n_1, n_2)}$. Отсюда следует, что можно вычислять поток и в переменных (n_1, n_2) , используя нормировочную константу из (46): значение потока инвариантно по отношению к преобразованию $(n_1, n_2) \leftrightarrow (n, c)$, как и должно быть с физической точки зрения.

В заключение рассмотрим вопрос о стационарной ФР $f_s(\mathbf{r})$. Из (24) следует, что

$$f_s(\mathbf{r}') f_0(\mathbf{r}') \sqrt{\frac{|H'_{11}|}{2\pi}} \int_{\xi(\mathbf{r}')}^{+\infty} e^{-\frac{1}{2}|H'_{11}|y^2} dy, \quad (47)$$

где $\xi(\mathbf{r}') = x'_1 + k_2 x'_2 + \dots + k_p x'_p$.

В частности, в СК с диагональным видом матрицы \hat{H}' имеем $k_i = 0$, и

$$\rho_s(x'_1) = \rho_0(x'_1) \sqrt{\frac{|h'_1|}{2\pi}} \int_{x'_1}^{+\infty} e^{-\frac{1}{2}|h'_1|y^2} dy$$

является функцией только неустойчивой переменной x'_1 , где $\rho_0(x'_1)$ — функция (29). В работе [20] было получено подобное выражение и сделан вывод об „универсальном“ свойстве функции $\rho_s(x'_1)$ — ее независимости от кинетических коэффициентов. Однако $h'_1 \equiv H'_{11}(\mathbf{e}'_1)$ зависит от кинетических коэффициентов, поскольку от них зависит направление \mathbf{e}'_1 потока. Результат работы [20] является следствием того факта, что СК с диагональным видом H , в которой там вычисляется $\rho_s(x'_1)$, не привязана к направлению потока. Кроме того, функция $\rho_s(x'_1)$ сама по себе не является полезной для приложений, так как переменная $x'_1 = C_{1j}^{-1} x_j$ не имеет определенного физического смысла.

Для того чтобы получить $f_s(\mathbf{r})$, нужно преобразовать выражение (47) к исходным переменным. Выразив (x'_1, \dots, x'_p) через (x_1, \dots, x_p) с помощью матрицы \hat{C}^{-1} — $x'_i = \bar{C}_{ji} x_j / \det \hat{C}$ — и используя выражение (19) для k_i , получаем

$$\xi(\mathbf{r}) = \frac{1}{H'_{11} \det \hat{C}} H'_{1i} \bar{C}_{ji} x_j = \frac{1}{H'_{11} \det \hat{C}} C_{m1} H_{mk} (C_{ki} \bar{C}_{ji}) x_j.$$

Поскольку $C_{ki} \bar{C}_{ji} = \delta_{jk} \det \hat{C}$, имеем

$$\xi(\mathbf{r}) = \frac{C_{m1} H_{mj} x_j}{H'_{11}} = \frac{\mathbf{e}'_1 \hat{H} \mathbf{r}}{H'_{11}}. \quad (48)$$

Как уже отмечалось, компоненты C_{m1} вектора \mathbf{e}'_1 являются направляющими косинусами вектора потока и определяются в теории; $H'_{11}(\mathbf{e}'_1) \equiv \kappa(\mathbf{e}'_1)$ — кривизна барьера в этом направлении. Таким образом,

$$\begin{aligned} f_s(\mathbf{r}) &= f_0(\mathbf{r}) \sqrt{\frac{|\kappa(\mathbf{e}'_1)|}{2\pi kT}} \int_{\frac{\mathbf{e}'_1 \hat{H} \mathbf{r}}{\kappa(\mathbf{e}'_1)}}^{+\infty} e^{-\frac{|\kappa(\mathbf{e}'_1)|}{2kT} y^2} dy \\ &\equiv \frac{1}{2} f_0(\mathbf{r}) \operatorname{erfc} \left(-\frac{\mathbf{e}'_1 \hat{H} \mathbf{r}}{\sqrt{2kT} |\kappa(\mathbf{e}'_1)|} \right) \end{aligned} \quad (49)$$

является искомым инвариантным выражением для стационарной ФР; она не зависит от СК и выражает-

ся только через исходные параметры задачи. Здесь $\operatorname{erfc}(x) \equiv 1 - \operatorname{erf}(x)$.

ФР по переменной n получается интегрированием этой функции по x_2, \dots, x_p

$$\rho_s(n) = \rho_0(n) \sqrt{\frac{|\kappa(\mathbf{e}'_1)|}{2\pi kT}} \xi(n),$$

$$\begin{aligned} \xi(n) &= \sqrt{\frac{\pi kT}{2|\kappa(\mathbf{e}'_1)|}} \int_{-\infty}^{+\infty} \dots \int_{-\infty}^{+\infty} dx_2 \dots dx_p f_0^{(f)}(x_2, \dots, x_p; n) \\ &\times \operatorname{erfc} \left(-\frac{\mathbf{e}'_1 \hat{H} \mathbf{r}}{\sqrt{2kT} |\kappa(\mathbf{e}'_1)|} \right), \end{aligned} \quad (50)$$

где $f_0^{(f)}$ — флуктуационная часть равновесной ФР (44). При переходе к одномерному зарождению $f_0^{(f)}(x_2, \dots, x_p; n) \rightarrow \delta(x_2 - x_2^e(n)) \dots \delta(x_p - x_p^e(n))$, причем $x_i^e(n) \rightarrow 0$ и $\kappa \rightarrow H_{11}$. Соответственно

$$\frac{\mathbf{e}'_1 \hat{H} \mathbf{r}}{\kappa} \rightarrow n, \quad \xi(n) \rightarrow \int_n^{+\infty} e^{-\frac{|H_{11}|}{2kT} y^2} dy.$$

6. Заключение

Зародыш вблизи критической точки представляет собой макроскопическую подсистему в исходной фазе и характеризуется набором величин (n, x_2, \dots, x_n) . При описании кинетики процесса зарождения переменная n — полное число мономеров в зародыше — имеет выделенное значение, так как является неустойчивой при равновесном распределении зародышей. Флуктуации физических величин для подсистемы являются неотъемлемым свойством состояния равновесия, соответственно величины (x_2, \dots, x_n) имеют в этом состоянии флуктуационные разбросы около своих средних значений $x_i^e(n)$. Использование одномерной теории означает пренебрежение наличием флуктуаций: каждая из величин x_i строго равна $x_i^e(n)$. Соответственно размерность пространства понижается на единицу при стремлении к нулю какой-либо из дисперсий $\langle (x_i - x_i^e(n))^2 \rangle$. В этом пределе $x_i^e(n)$ стремится к критическому значению x_i^* , так что переменная x_i превращается в константу и выпадает из рассмотрения.

При отклонении переменной x_i от равновесного значения, большого по сравнению со среднеквадратичной флуктуацией, возникает соответствующий макроскопический поток, причем в окрестности критической точки имеет место линейный закон релаксации, как в теории Онсагера. Однако эта теория неприменима к анализу свойств симметрии диффузионной матрицы ввиду наличия неустойчивой переменной. Факт симметрии матрицы \hat{D} может быть установлен с помощью принципа детального баланса. Кроме того, в пользу симметрии \hat{D} свидетельствует непротиворечивость теории в данном случае.

В рамках предложенной теории стационарный поток зародышей определяется самосогласованным образом наряду со своим направлением, а также стационарной ФР зародышей в фазовом пространстве. Величина потока, его направление и стационарная ФР зависят как от термодинамических, так и от кинетических характеристик системы.

Список литературы

- [1] Я.Б. Зельдович. ЖЭТФ **12**, 525 (1942).
- [2] Я.И. Френкель. Кинетическая теория жидкостей. Наука, Л. (1975). 592 с.
- [3] H. Reiss. J. Chem. Phys. **18**, 840 (1950).
- [4] J.S. Langer. Ann. Phys. **54**, 258 (1969).
- [5] Ф.М. Куни, А.А. Мелихов. ТМФ **81**, 247 (1989).
- [6] З.К. Саралидзе, С.Н. Кекчидис. Металлофизика **7**, 6 (1985).
- [7] G. Shi, J.H. Seinfeld. J. Chem. Phys. **93**, 9033 (1990).
- [8] Н.В. Алексеечкин, П.Н. Остапчук. ФТТ **35**, 929 (1993).
- [9] H. Trinkaus. Phys. Rev. B **27**, 7372 (1983).
- [10] М.П. Фатеев. ФТТ **44**, 12, 2212 (2002).
- [11] Е.М. Лифшиц, Л.П. Питаевский. Физическая кинетика. Наука, М. (1979). 528 с.
- [12] Ю. Каган, ЖФХ **34**, 92 (1960).
- [13] Б.В. Дерягин, А.В. Прохоров, Н.Н. Туницкий. ЖЭТФ **73**, 1831 (1977).
- [14] J. Feder, K.C. Russell, J. Lothe, G.M. Pound. Adv. Phys. **15**, 111 (1966).
- [15] K.C. Russell. Acta Met. **16**, 761 (1968).
- [16] А.П. Гринин, Ф.М. Куни. ТМФ **80**, 418 (1989).
- [17] А.В. Прохоров. ДАН СССР **239**, 1323 (1978).
- [18] В.А. Шнейдман. ЖЭТФ **91**, 520 (1986).
- [19] Л.Д. Ландау, Е.М. Лифшиц. Статистическая физика. Ч. 1. Наука, М. (1976). 584 с.
- [20] Е.А. Бренер, В.И. Марченко, С.В. Мешков. ЖЭТФ **85**, 2107 (1983).